

# Одномерное истечение в вакуум нормального газа, гравитирующего по Ньютону\*

С. Л. ДЕРЯБИН, А. В. МЕЗЕНЦЕВ

*Уральский государственный университет путей сообщения, Екатеринбург, Россия*  
e-mail: SDeryabin@math.usurt.ru, AMezentsev@math.usurt.ru

Рассматриваются одномерные течения газа в предположении, учитывающем феномен гравитации. Исследуются уравнения состояния нормального газа с различными особенностями и среди них выбирается уравнение состояния, наиболее точно описывающее физический процесс. Рассматривается задача о распаде разрыва, решение которой строится во всей области течения до вакуума включительно.

*Ключевые слова:* нормальный газ, гравитирующий по Ньютону, свободная поверхность газ—вакуум, сходящиеся ряды.

## Введение

В настоящее время задачи об одномерном и многомерном истечении в вакуум идеального полиродного газа, в том числе при учете внешних массовых сил и в условиях самогравитации, достаточно подробно исследованы. Также изучались одномерные течения нормального газа для одного частного случая уравнения состояния и без учета гравитации. Обзор полученных результатов можно найти в [1–3].

В данной работе рассматриваются одномерные течения нормального газа с уравнением состояния, позволяющим учитывать гравитацию по Ньютону.

## 1. Постановка задачи и исследование уравнений состояния

Пусть в момент  $t = 0$  сфера или цилиндр  $\Gamma$  радиуса  $R > 0$  отделяет нормальный, гравитирующий по Ньютону газ от вакуума. В задаче о схлопывании одномерной полости предполагается, что газ находится снаружи, а внутри полости — вакуум (рис. 1).

Если внутри цилиндра находится газ, а снаружи — вакуум, то это задача о разлете газа (рис. 2).

При этом в момент  $t = 0$  известны распределения параметров газа:  $u = u_0(x)$  — скорость газа;  $S = S_0(x)$  — энтропия;  $\rho = \rho_0(x)$  — плотность газа, где  $x$  — расстояние до оси или центра симметрии. Функции  $u_0, S_0, \rho_0$  предполагаются аналитическими, а плотность газа всюду больше нуля, в том числе  $\rho_0(x)|_{\Gamma} > 0$ . В момент  $t = 0$  начинается движение газа, определяемое заданными распределениями  $u_0, S_0, \rho_0$ , и это движение в дальнейшем будем называть фоновым течением.

---

\*Работа выполнена при финансовой поддержке Российского фонда фундаментальных исследований (грант № 08-01-00052).

© ИВТ СО РАН, 2009.

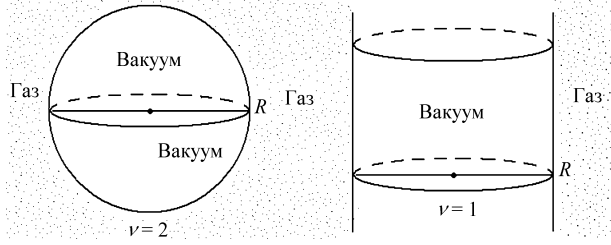


Рис. 1

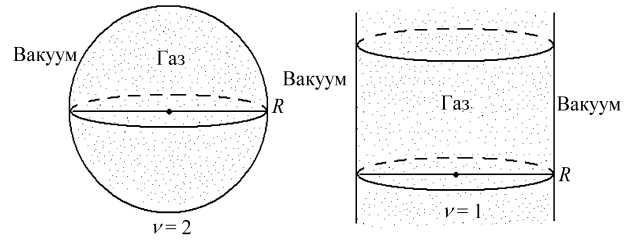


Рис. 2

Кроме этого, в момент  $t = 0$  поверхность  $\Gamma$  мгновенно разрушается и начинается истечение газа в вакуум. Возмущения, возникшие в фоновом течении в результате мгновенного разрушения поверхности  $\Gamma$ , распространяются по газу в виде волны разрежения, отделенной от фонового течения границей  $\Gamma_1$  — поверхностью слабого разрыва. С другой стороны, волна разрежения примыкает к вакууму:  $\rho_0(x)|_{\Gamma_0} = 0$ , где  $\Gamma_0$  — свободная поверхность, отделяющая волну разрежения от вакуума. Требуется построить как фоновое течение, так и волну разрежения, а также найти законы движения  $\Gamma_1$  и  $\Gamma_0$ . Таким образом, поставленная задача есть задача о распаде разрыва в случае, когда в начальный момент времени неподвижная стенка  $\Gamma$  отделяет газ от вакуума.

Одномерные течения рассматриваемого газа описываются системой [4]:

$$\begin{aligned} \rho_t + \rho_x u + \rho \left( u_x + \nu \frac{u}{x} \right) &= 0, \\ u_t + uu_x + \frac{1}{\rho} p_x &= F(x, t), \\ S_t + uS_x &= 0, \end{aligned} \tag{1.1}$$

где

$$F(x, t) = -2\nu\pi \frac{G}{x^\nu} \int_a^x r^\nu \rho(r, t) dr, \quad G = 6,67 \cdot 10^{-11} \frac{H \cdot m^2}{kg^2}.$$

Здесь  $p$  — давление,  $G$  — гравитационная постоянная,  $\nu$  — показатель симметрии ( $\nu = 1$  — цилиндрическая;  $\nu = 2$  — сферическая). Если газовый цилиндр (шар) разлется, то  $a = 0$ . Если происходит схлопывание одномерной полости, то  $a = x_0(t)$ , где  $x_0(t)$  — неизвестный закон движения свободной поверхности  $\Gamma_0$ .

Система (1.1) не является замкнутой, поскольку неизвестных функций четыре ( $\rho, u, S, p$ ), а уравнений три. Поэтому необходимо задать уравнение состояния, определяющее термодинамическую природу газа. В работах [1, 5, 6] исследовано одномерное истечение в вакуум идеального политропного газа в условиях самогравитации с уравнением состояния

$$p = \frac{S^2 \rho^\gamma}{\gamma}, \quad \gamma = \text{const} > 1.$$

В работе [3] исследовались одномерные течения нормального газа с уравнением состояния, имеющим степенную особенность, без учета гравитации:

$$p = \frac{\rho^\gamma}{\gamma} f(\rho, S), \quad \gamma = \text{const} > 1.$$

В данной работе исследования будут проводиться для нормального газа в условиях самогравитации и с уравнением состояния

$$p = \frac{\rho^\gamma}{\gamma} f(\rho, S), \quad \gamma = \text{const} > 1,$$

где  $f(\rho, S)$  — аналитическая функция в некоторой области  $\{0 \leq \rho \leq \rho^*, S_* < S < S^*\}$ .

Для удобства дальнейшего исследования от системы интегродифференциальных уравнений (1.1) делается переход к системе дифференциальных уравнений путем введения дополнительной неизвестной функции  $F(x, t)$ . Дифференцируя  $F$  по  $t$  и  $x$ , учитывая уравнение неразрывности, получим, как и в [6], два дифференциальных уравнения для  $F$ :

$$F_x = -\frac{\nu}{x} F - 2\nu\pi\rho G, \quad F_t = 2\nu\pi\rho Gu. \quad (1.2)$$

Получившаяся система (1.1), (1.2) переопределена: пять уравнений для четырех неизвестных функций, однако перекрестным дифференцированием можно убедиться, что система (1.1), (1.2) совместна.

Для построения фонового течения необходимо для системы (1.1), (1.2) решить задачу Коши с начальными данными при  $t = 0$ :

$$\begin{aligned} u|_{t=0} &= u_0(x), \quad S|_{t=0} = S_0(x), \quad \rho|_{t=0} = \rho_0(x), \\ F|_{t=0} &= F_0(x) = -2\nu\pi \frac{G}{x^\nu} \int_{a_0}^x r^\nu \rho_0(r) dr, \end{aligned} \quad (1.3)$$

где  $a_0 = 0$ , если газ разлетается;  $a_0 = R$ , если происходит схлопывание одномерной полости.

Если  $\rho_0(x)$  — аналитическая функция, то, как и в [6], можно показать, что  $F_0(x)$  есть аналитическая функция, не имеющая особенностей при  $x = 0$ . Поскольку рассматриваемая система является системой типа Ковалевской, а начальные данные — аналитические функции, то задача Коши имеет [7] при малых  $t$  аналитическое решение, которое можно представить, например, в виде сходящихся рядов по степеням  $t$  с коэффициентами, являющимися аналитическими функциями от  $x$  в окрестности точки  $x = R$ . Это решение в дальнейшем будем называть фоновым течением:

$$\rho = \rho_{00}(x, t), \quad u = u_{00}(x, t), \quad S = S_{00}(x, t), \quad F = F_{00}(x, t).$$

Зная фоновое течение, по стандартной методике [8] получаем уравнение звуковой характеристики как решение задачи Коши для обыкновенного дифференциального уравнения:

$$\frac{dx}{dt} = u_{00} \pm c_{00}, \quad x(0) = R,$$

где  $c_{00} = c^2 = \frac{\partial p}{\partial \rho}$  — скорость звука фонового течения, однозначно определяемая по  $\rho_{00}(x, t)$ .

Последняя задача Коши имеет единственное аналитическое решение  $x = x_1(t)$ . Представляя  $x = x_1(t)$  в газодинамические параметры фонового течения, получаем условия на характеристике  $\Gamma_1$ :

$$\begin{aligned} \rho|_{\Gamma_1} &= \rho_{00}(x_1(t), t) = \rho^0(t), \quad u|_{\Gamma_1} = u_{00}(x_1(t), t) = u^0(t), \\ S|_{\Gamma_1} &= S_{00}(x_1(t), t) = S^0(t), \quad F|_{\Gamma_1} = F_{00}(x_1(t), t) = F^0(t). \end{aligned} \quad (1.4)$$

Введем вспомогательную функцию

$$h_0(\rho, S) = \sqrt{\gamma f(\rho, S) + \rho f_\rho(\rho, S)}.$$

Дополнительно будем предполагать, что функция  $h_0(\rho, S)$  аналитична в области  $\{0 \leq \rho \leq \rho^0(0), S_* < S < S^*\}$ .

Для построения волны разрежения сделаем, как и в [6], замену переменных: за независимые переменные возьмем  $t, \rho$ , а за неизвестные функции  $x, u, S, F$ . Якобиан такого преобразования  $J = x_\rho$ . В результате этой замены получим систему:

$$\begin{aligned} x_t &= u + \rho \left( u_\rho + \nu x_\rho \frac{u}{x} \right), \\ x_\rho u_t - \rho u_\rho^2 - \nu \rho x_\rho \frac{u}{x} u_\rho + \rho^{\gamma-2} h^2(\rho, S) + f_S \rho^{\gamma-1} S_\rho &= x_\rho F, \\ x_\rho S_t - \rho \left( u_\rho + \nu x_\rho \frac{u}{x} \right) S_\rho &= 0, \\ F_t &= -\nu \frac{x_t}{x} F + 2\nu\pi G\rho(u - x_t). \end{aligned} \tag{1.5}$$

Течение в области между  $\Gamma_1$  и  $\Gamma_0$  (в области волны разрежения) будем строить как решение системы (1.5) с данными (1.4) на характеристике  $\Gamma_1$ . Поскольку  $\Gamma_1$  — характеристика кратности один, то для получения единственного локально-аналитического решения необходимо задать одно дополнительное условие [1]. Если бы поверхность  $\Gamma$  убиралась медленно, то таким условием было бы условие непротекания на стенке. Если же поверхность  $\Gamma$  убирается мгновенно, этим условием в пространстве переменных  $(\rho, t)$  служит [1] соотношение

$$x(0, \rho) = R. \tag{1.6}$$

Таким образом, для описания волны разрежения между  $\Gamma_1$  и  $\Gamma_0$  имеем начально-краевую задачу (1.4)–(1.6), которая в дальнейшем и будет называться задачей о распаде специального разрыва.

## 2. Построение волны разрежения

**Теорема 2.1.** *Существует  $t_0 > 0$  такое, что при  $0 < t < t_0$ ,  $\rho_* \leq \rho \leq \rho^0(0)$  в некоторой окрестности  $\Gamma_1$  существует единственное локально-аналитическое решение задачи (1.4)–(1.6) о распаде специального разрыва.*

Доказательство теоремы состоит, как и в [6], в сведении к теореме о существовании единственного аналитического решения у характеристической задачи Коши стандартного вида [1]. Поскольку теорема 2.1 носит локальный характер, она не гарантирует, что  $\rho = 0$  попадет в интервал  $[\rho_*; \rho^0(0)]$  (рис. 3).

Для выяснения вопроса о том, входит ли поверхность  $\Gamma_0$  ( $\rho = 0$ ) в область применимости решения задачи (1.4)–(1.6), разложим его в ряд по степеням  $t$

$$\mathbf{f}(t, \rho) = \begin{pmatrix} x \\ u \\ S \\ F \end{pmatrix} = \sum_{k=0}^{\infty} \begin{pmatrix} x_k \\ u_k \\ S_k \\ F_k \end{pmatrix} \frac{t^k}{k!} = \sum_{k=0}^{\infty} \mathbf{f}_k(\rho) \frac{t^k}{k!}, \tag{2.1}$$

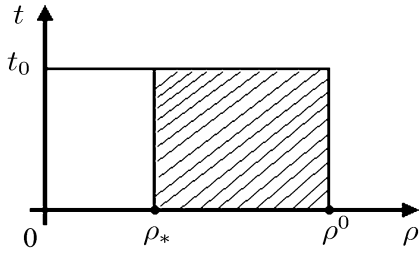


Рис. 3

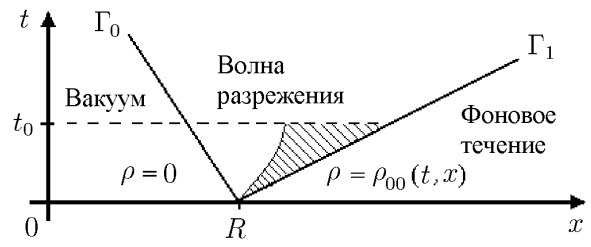


Рис. 4

что при малых  $t$  возможно в силу аналитичности решения задачи о распаде разрыва в некоторой окрестности  $\Gamma_1$ .

В физическом пространстве область сходимости ряда (2.1) по теореме 2.1 приведена на рис. 4.

Из начальных и граничных условий следует, что  $x_0(\rho) = R$ ;

$$F_0(\rho) = F_0 = \begin{cases} 0 & \text{при схлопывании одномерной полости,} \\ -2\nu\pi \frac{G}{R^\nu} \int_0^R r^\nu \rho_0(r) dr = \text{const} \neq 0 & \text{при разлете газа.} \end{cases}$$

В системе (1.5) положим  $t = 0$ , и, учитывая (1.6), будем иметь:

- 1)  $x_1 = u_0 + \rho u_{0\rho}$ ;
  - 2)  $-\rho u_{0\rho}^2 + \rho^{\gamma-2} h_0^2(\rho, S_0) + f_S \rho^{\gamma-1} S_{0\rho} = 0$ ;
  - 3)  $S_{0\rho} u_{0\rho} = 0$ ;
  - 4)  $F_1 = 2\nu\pi G \rho(u_0 - x_1) - \nu \frac{x_1}{x_0} F_0$  — при разлете газа;
  - 5)  $F_1 = 2\nu\pi G \rho(u_0 - x_1)$  — при схлопывании полости.
- (2.2)

Интегрируя третье уравнение и преобразуя второе уравнение системы (2.2), получим

$$S_0 = S_0(R) = S_{00}(0) = \text{const},$$

$$u_{0\rho} = \pm \rho^{\frac{\gamma-3}{2}} \sqrt{\gamma f + \rho f_\rho} = \pm \rho^{\frac{\gamma-3}{2}} h_0(\rho, S_0) = \pm \rho^{\frac{\gamma-3}{2}} h(\rho).$$

Знак плюс в выражении для  $u_{0\rho}$  выбирается при схлопывании одномерной полости, а знак минус — при разлете газа.

Проинтегрируем выражение для  $u_{0\rho}$  на отрезке  $0 \leq \rho \leq \rho^0$  ( $\rho^0 = \rho^0(0)$ ) и после преобразований имеем

$$u_0 = u_{00} \pm \int_{\rho^0}^{\rho} \rho^{\frac{\gamma-3}{2}} h(\rho) d\rho = u_{00} \mp \int_0^{\rho^0} \rho^{\frac{\gamma-3}{2}} h(\rho) d\rho \pm \int_0^{\rho} \rho^{\frac{\gamma-3}{2}} h(\rho) d\rho.$$

Здесь и далее в получаемых формулах будем считать верхний знак в символах  $\pm$ ,  $\mp$  соответствующим схлопыванию одномерной полости, а нижний — разлету газа.

Вводя обозначения

$$u_* = u_0(x)|_{\Gamma} \mp \int_0^{\rho^0} \rho^{\frac{\gamma-3}{2}} h(\rho) d\rho, \quad H(\rho) = \frac{\int_0^{\rho} \rho^{\frac{\gamma-3}{2}} h(\rho) d\rho}{\rho^{\frac{\gamma-1}{2}}},$$

будем иметь

$$u_0 = u_* \pm \rho^{\frac{\gamma-1}{2}} H(\rho).$$

Как показано в [1], функции  $f(\rho, S_0)$ ,  $h(\rho)$ ,  $\sqrt{h(\rho)}$ ,  $1/\sqrt{h(\rho)}$ , а также  $H(\rho)$  являются аналитическими в области  $0 \leq \rho \leq \rho^0$ .

Для нахождения  $x_1$ ,  $F_1$  подставим полученные выражения в первое и четвертое уравнения системы (2.2):

$$x_1 = u_* - \rho^{\frac{\gamma-1}{2}} H(\rho) - \rho^{\frac{\gamma-1}{2}} h(\rho) = u_* - \rho^{\frac{\gamma-1}{2}} [h(\rho) + H(\rho)],$$

$$F_1 = -2\nu\pi G h(\rho) \rho \rho^{\frac{\gamma-1}{2}} - \nu \frac{F_0}{x_0} \left[ u_* - \rho^{\frac{\gamma-1}{2}} H(\rho) \right].$$

Получим выражение для  $x_{1\rho}$ . Для этого выразим  $H'(\rho)$  через  $h(\rho)$  и  $H(\rho)$ :

$$x_{1\rho} = \pm \rho^{\frac{\gamma-3}{2}} \left[ \frac{\gamma+1}{2} h(\rho) + \rho h'(\rho) \right].$$

Окончательно имеем следующую структуру начальных коэффициентов рядов (2.1)

$$x_1 = u_* \pm \rho^{\frac{\gamma-1}{2}} [h(\rho) + H(\rho)];$$

$$u_0 = u_* \pm \rho^{\frac{\gamma-1}{2}} H(\rho);$$

$$S_0 = S_{00}(0);$$

$$F_1 = \mp F_1(\rho) \rho \rho^{\frac{\gamma-1}{2}} \mp F_2(\rho) \rho^{\frac{\gamma-1}{2}} - \gamma \frac{u_*}{R} F_0; \tag{2.3}$$

$$u_{0\rho} = \pm \rho^{\frac{\gamma-3}{2}} h(\rho);$$

$$x_{1\rho} = \pm \rho^{\frac{\gamma-3}{2}} \left[ \frac{\gamma+1}{2} h(\rho) + \rho h'(\rho) \right].$$

Здесь  $F_1(\rho)$ ,  $F_2(\rho)$  — функции аналитические от  $\rho$ , с тем же радиусом сходимости, что и у  $h(\rho)$ .

Продифференцируем систему (1.5) по  $t$ , положим  $t = 0$ , и, учитывая (1.6) и ранее полученные выражения, имеем:

- 1)  $x_2 = u_1 + \rho u_{1\rho} + \nu \rho x_{1\rho} \frac{u_0}{x_0};$
- 2)  $x_{1\rho} u_1 - 2\rho u_{0\rho} u_{1\rho} = \nu \rho x_{1\rho} \frac{u_0}{x_0} u_{0\rho} - 2\rho^{\gamma-2} h_0(\rho, S_0) h_{0S}(\rho, S_0) S_1 - f_S(\rho, S_0) \rho^{\gamma-1} S_{1\rho} + x_{1\rho} F_0;$
- 3)  $x_{1\rho} S_1 - \rho u_{0\rho} S_{1\rho} = 0;$
- 4)  $F_2 = 2\nu\pi G\rho(u_1 - x_2) - \nu \frac{x_1}{x_0} F_1 - \nu \frac{x_2 x_0 - x_1^2}{x_0^2} F_0.$

Интегрируя третье уравнение системы (2.4), будем иметь

$$S_1 = S_{10} \rho^{\frac{\gamma+1}{2}} h(\rho).$$

Для интегрирования второго уравнения запишем его в следующем виде:

$$\begin{aligned} x_{1\rho} u_1 - 2\rho u_{0\rho} u_{1\rho} &= G_{21}(\rho), \\ G_{21}(\rho) &= \nu \rho x_{1\rho} \frac{u_0}{x_0} u_{0\rho} - 2\rho^{\gamma-2} h(\rho) h_S(\rho, s_0) s_1 - f_s \rho^{\gamma-1} s_{1\rho} + x_{1\rho} F_0. \end{aligned}$$

После преобразований получим дифференциальное уравнение

$$u_{1\rho} - \left[ \frac{\gamma+1}{4\rho} + \frac{h'(\rho)}{2h(\rho)} \right] u_1 = -\frac{G_{21}(\rho)}{2\rho u_{0\rho}}.$$

Интегрируя, будем иметь

$$u_1 = \rho^{\frac{\gamma+1}{4}} \sqrt{h(\rho)} \left( u_{10} + \int_{\rho_0}^{\rho} \frac{-G_{21}(\rho) d\rho}{2\rho^{\frac{\gamma+1}{4}+1} u_{0\rho} \sqrt{h(\rho)}} \right).$$

После детального анализа в случае  $\gamma \neq \frac{5}{3}$ ,  $\gamma \neq 3$  получаем следующую структуру коэффициента  $u_1(\rho)$ :

$$u_1 = U_1(\rho) \rho^{\frac{\gamma+1}{4}} + U_2(\rho) \rho^{\frac{\gamma-1}{2}} + U_3(\rho) \rho^{\gamma-1} + \rho U_4(\rho) + d_1^2,$$

где  $U_1(\rho)$ ,  $U_2(\rho)$ ,  $U_3(\rho)$ ,  $U_4(\rho)$  — некоторые аналитические функции,  $d_1^2 = \text{const} \neq 0$ .

Если  $\gamma = \frac{5}{3}$ , то

$$u_1 = U_1(\rho) \rho^{\frac{2}{3}} + U_2(\rho) \rho^{\frac{1}{3}} + U_3(\rho) \ln(\rho) \rho^{\frac{2}{3}} + \rho U_4(\rho) + U_5(\rho) \rho^{\frac{5}{3}} + d_1^2.$$

Если  $\gamma = 3$ , то

$$u_1 = U_1(\rho) \rho + U_2(\rho) \ln(\rho) \rho + U_3(\rho) \rho^2 + U_4(\rho) \rho^3 + \rho U_5(\rho) + d_1^2.$$

Подставляя полученные выражения в первое и четвертое уравнения системы (2.4), определяем  $x_2$  и  $F_2$ . Полученные выражения для  $x_2(\rho)$  и  $F_2(\rho)$  имеют такую же структуру, как и  $u_1(\rho)$ . Окончательно имеем

$$\mathbf{g}_1(\rho) = \begin{pmatrix} x_2 \\ u_1 \\ S_1 \\ F_2 \end{pmatrix} = \mathbf{g}_1^1(\rho)\rho^{\frac{\gamma+1}{4}} + \mathbf{g}_1^2(\rho)\rho^{\frac{\gamma-1}{2}} + \mathbf{g}_1^3(\rho)\rho^{\gamma-1} + \rho\mathbf{g}_1^4(\rho) + \mathbf{d}_1,$$

где  $\mathbf{d}_1(\rho) = \begin{pmatrix} d_1^1 \\ d_1^2 \\ d_1^3 \\ d_1^4 \end{pmatrix} = \begin{pmatrix} F_0 \\ F_0 \\ 0 \\ \gamma^2 \frac{u_*^2}{R^2} F_0 - \gamma \frac{F_0 R - u_*^2}{R^2} F_0 \end{pmatrix}.$

Далее система (1.5) дифференцируется  $k$  раз по  $t$ , полагается  $t = 0$ . Учитывая условие (1.6) и ранее полученные коэффициенты ряда (2.1), имеем

$$x_{k+1} = u_k + \rho u_{k\rho} + G_{1k}(\rho),$$

$$kx_{1\rho}u_k - 2\rho u_{0\rho}u_{k\rho} = G_{2k}(\rho),$$

$$kx_{1\rho}S_k - \rho u_{0\rho}S_{k\rho} = G_{3k}(\rho),$$

$$F_{k+1} = G_{4k}(\rho).$$

Здесь  $G_{1k}$ ,  $G_{2k}$ ,  $G_{3k}$ ,  $G_{4k}$  — функции, известным образом зависящие от  $x_{l+1}$ ,  $u_l$ ,  $S_l$ ,  $F_{l+1}$  ( $l < k$ ). Их вид из-за громоздкости не приводится. Интегрируя третье и второе уравнения системы, будем иметь

$$u_k = \rho^{\frac{\gamma+1}{4}k} [\sqrt{h(\rho)}]^k \left[ u_{k0} - \frac{1}{2} \int_{\rho_0}^{\rho} G_{2k}(\rho) \rho^{-\frac{\gamma-1}{2}(\alpha k+1)} [h(\rho)]^{-\frac{k}{2}-1} d\rho \right],$$

$$S_k = \rho^{\frac{\gamma+1}{2}k} h^k(\rho) \left[ S_{k0} - \int_{\rho_0}^{\rho} G_{3k}(\rho) \rho^{-\frac{\gamma-1}{2}(2\alpha k+1)} [h(\rho)]^{-k-1} d\rho \right], \quad \alpha = \frac{\gamma+1}{2(\gamma-1)}.$$

Произвольные постоянные  $u_{k0}$ ,  $S_{k0}$  определяются при помощи условий (1.4).

**Лемма 2.1.** Коэффициенты рядов (2.1) для  $k > 1$  имеют вид

$$x_{k+1} = d_k^1 + P_k^1 \left( \rho, \rho^{\frac{\gamma+1}{4}}, \rho^{\frac{\gamma-1}{2}}, \rho^{\frac{\gamma+1}{4}} \ln \rho \right), \quad S_k = P_k^3 \left( \rho, \rho^{\frac{\gamma+1}{4}}, \rho^{\frac{\gamma-1}{2}}, \rho^{\frac{\gamma+1}{4}} \ln \rho \right),$$

$$u_k = d_k^2 + P_k^2 \left( \rho, \rho^{\frac{\gamma+1}{4}}, \rho^{\frac{\gamma-1}{2}}, \rho^{\frac{\gamma+1}{4}} \ln \rho \right), \quad F_{k+1} = d_k^4 + P_k^4 \left( \rho, \rho^{\frac{\gamma+1}{4}}, \rho^{\frac{\gamma-1}{2}}, \rho^{\frac{\gamma+1}{4}} \ln \rho \right)$$

— при разлете газа,

$$x_{k+1} = P_k^1 \left( \rho, \rho^{\frac{\gamma+1}{4}}, \rho^{\frac{\gamma-1}{2}}, \rho^{\frac{\gamma+1}{4}} \ln \rho \right), \quad S_k = P_k^3 \left( \rho, \rho^{\frac{\gamma+1}{4}}, \rho^{\frac{\gamma-1}{2}}, \rho^{\frac{\gamma+1}{4}} \ln \rho \right),$$

$$u_k = P_k^2 \left( \rho, \rho^{\frac{\gamma+1}{4}}, \rho^{\frac{\gamma-1}{2}}, \rho^{\frac{\gamma+1}{4}} \ln \rho \right), \quad F_{k+1} = P_k^4 \left( \rho, \rho^{\frac{\gamma+1}{4}}, \rho^{\frac{\gamma-1}{2}}, \rho^{\frac{\gamma+1}{4}} \ln \rho \right)$$

— при схлопывании одномерной полости, здесь  $P_k^i$  — многочлены от указанных аргументов степени не выше  $Ak$ , коэффициенты которых являются аналитическими функциями от  $\rho$  с областью сходимости  $\{0 \leq \rho \leq \rho^0(0)\}$ . Причем  $\lim_{\rho \rightarrow 0} P_k = 0$ .

Доказательство леммы аналогично соответствующему доказательству из [1, 6] и проводится индукцией по  $k$ . Сначала доказывается, что  $G_{lk}(\rho)$  обладают нужной структурой, а затем непосредственным интегрированием выясняется, что  $x_{k+1}, u_k, S_k, F_{k+1}$  обладают указанной структурой. На основании леммы можно утверждать, что структура решения в задаче о разлете газа следующая:

$$u = U^0(t) + U^1(t, \rho), \quad x = x^0(t) + x^1(t, \rho),$$

$$F = F^0(t) + F^1(t, \rho), \quad S = S^1(t, \rho) + S_{00}(0),$$

где

$$x^0(t) = \sum_{k=0}^{\infty} d_k^1 \frac{t^k}{k!}, \quad U^0(t) = \sum_{k=0}^{\infty} d_k^2 \frac{t^k}{k!}, \quad F^0(t) = \sum_{k=0}^{\infty} d_k^4 \frac{t^k}{k!}. \quad (2.5)$$

Причем  $\lim_{\rho \rightarrow 0} x^1(t, \rho) = 0$ ,  $\lim_{\rho \rightarrow 0} U^1(t, \rho) = 0$ ,  $\lim_{\rho \rightarrow 0} S^1(t, \rho) = 0$ ,  $\lim_{\rho \rightarrow 0} F^1(t, \rho) = 0$ .

Для  $U^0(t)$ ,  $x^0(t)$ ,  $F^0(t)$  справедлива следующая

**Лемма 2.2.** Ряды (2.5) являются решением вспомогательной задачи

$$\begin{aligned} x_t^0 &= U^0, & x^0(0) &= R, \\ U_t^0 &= F^0, & U^0(0) &= u_*, \\ F_t^0 &= -\frac{\nu}{x} U^0 F^0, & F^0(0) &= F_0, \end{aligned} \quad (2.6)$$

где  $u_*$ ,  $F_0$  берутся из решения задачи о распаде разрыва (1.4)–(1.6).

Лемма доказывается разложением в ряд по степеням  $t$  решения задачи (2.6) и сравнением полученных рядов с рядами (2.5). Ряды оказываются равными.

Система (2.6) не имеет особенностей ( $x(0) = R > 0$ ), поэтому задача (2.6) имеет единственное локально-аналитическое решение, которое можно представить рядами (2.5). Следовательно, ряды (2.5) сходятся.

На основании приведенных лемм доказывается следующая

**Теорема 2.2.** При  $0 \leq t < t^*$  область сходимости рядов (2.1), а также рядов  $\mathbf{f}_t$ ,  $\rho \mathbf{f}_\rho$  покрывает всю зону течения от  $\Gamma_1$  до  $\Gamma_0$  включительно. При этом закон движения свободной поверхности при разлете газа определяется из решения вспомогательной задачи (2.6). При схлопывании одномерной полости свободная поверхность движется с постоянной скоростью  $u_*$ .

Доказательство теоремы аналогично доказательству из [6] и проводится по методике [1], позволяющей установить неограниченность области сходимости рядов по соответствующей переменной. При доказательстве используются теорема 2.1 и полиномиальная структура коэффициентов ряда. Поскольку ряды (2.1) локально сходятся, а коэффициенты рядов многочлены от  $\rho$ ,  $\rho^{\frac{\gamma+1}{4}} \ln \rho$ ,  $\rho^{\frac{\gamma+1}{4}}$ ,  $\rho^{\frac{\gamma-1}{2}}$  и степени многочленов не выше  $Ak$ , то, как и в [1], доказывается, что существует постоянная  $M > 0$  такая, что ряды (2.1) сходятся в области

$$\xi = \max_{\rho \in [0; \rho^0]} \left\{ \rho, |\rho^{\frac{\gamma+1}{4}} \ln \rho|, \rho^{\frac{\gamma+1}{4}}, \rho^{\frac{\gamma-1}{2}} \right\},$$

$$M\xi |t| < 1.$$

Из последнего неравенства находится  $t^*$ .

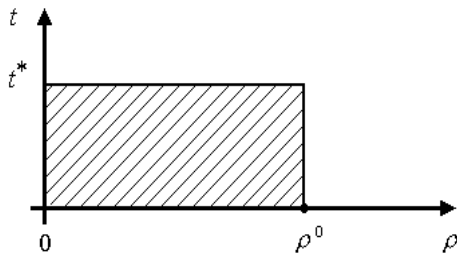


Рис. 5

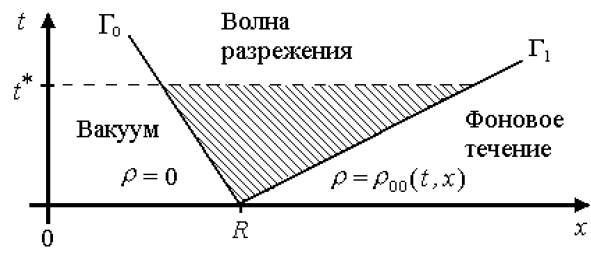


Рис. 6

Поэтому точка  $\rho = 0$ , определяющая закон движения свободной поверхности  $\Gamma_0$ , включается в область сходимости рядов (2.1) (рис. 5).

В физическом пространстве область сходимости рядов выглядит так, как показано на рис. 6.

Таким образом, на основании теоремы 2.2 получено решение задачи о распаде специального разрыва в виде рядов (2.1), сходящихся во всей области волны разрежения от  $\Gamma_0$  до  $\Gamma_1$  включительно, а также установлены законы движения свободной поверхности.

### 3. Условия нормальности газа с уравнением состояния, содержащим логарифмическую особенность

В заключение работы рассмотрим еще одно уравнение состояния, предлагаемое физиками для описания нормального газа [9].

Уравнение состояния газа имеет одновременно и логарифмическую, и степенную особенности:

$$p = \rho^\gamma \ln \rho f(\rho, S), \quad \gamma = \text{const} > 1.$$

Исследуем газ с таким уравнением состояния на нормальность.

В настоящее время используются два определения нормального газа, различающиеся фактически только в одном моменте [8, 10]. Первое определение нормальности газа — по Овсянникову [8]:

$$p > 0, \quad p_\rho > 0, \quad p_{\rho\rho} > 0. \quad (3.1)$$

Во втором определении нормального газа, по Вейлю [10], третье неравенство из условий (3.1) имеет иной вид:

$$2p_\rho + \rho p_{\rho\rho} > 0. \quad (3.2)$$

Различие в определениях имеет газодинамическую природу. У нормального газа, удовлетворяющего условиям (3.1), скорость звука монотонно возрастает с ростом плотности. Если условия (3.1) не выполняются, но выполняются условия (3.2), то газ остается нормальным, по терминологии Вейля, несмотря на то, что скорость звука становится немонотонной функцией от  $\rho$ .

Рассмотрим частный случай уравнения состояния, когда  $f(\rho, S) = \text{const}$ . Поскольку на интервале  $(0, 1) \ln \rho < 0$ , то в силу условий (3.1) —  $f(\rho, S) < 0$ . Пусть  $f(\rho, S) = -a^2$ , тогда  $p_\rho$  будет иметь вид

$$p_\rho = a^2 \rho^{\gamma-1} (-\gamma \ln \rho - 1).$$

Это выражение будет больше нуля на интервале  $(0; e^{-\frac{1}{\gamma}})$ .

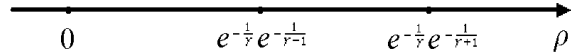


Рис. 7

Вычисляя  $p_{\rho\rho}$ , получим

$$p_{\rho\rho} = a^2 \rho^{\gamma-2} [-\gamma(\gamma-1) \ln \rho + 1 - 2\gamma].$$

Тогда  $p_{\rho\rho} > 0$  на интервале  $(0; e^{-\frac{1}{\gamma}}e^{-\frac{1}{\gamma-1}})$ .

Первый интервал в предельном случае, когда  $\gamma = 1$ , имеет вид  $(0; \frac{1}{e})$ , при увеличении  $\gamma (\gamma > 1)$  его правая граница тоже увеличивается. Второй интервал существенно меньше, чем первый, и в предельном случае, когда  $\gamma = 1$ , исчезает. Таким образом, при  $\gamma > 1$  существует интервал нормальности газа с монотонной скоростью звука, но при  $\gamma \rightarrow 1 + 0$  он практически исчезает.

Найдем интервал значений плотности газа, на котором выполняются условия (3.2), т. е.

$$a^2 \rho^{\gamma-1} [2(-\gamma \ln \rho - 1) - \gamma(\gamma-1) \ln \rho + 1 - 2\gamma] > 0.$$

Приводя подобные, получим

$$a^2 \rho^{\gamma-1} [-\gamma(\gamma+1) \ln \rho - 1 - 2\gamma] > 0.$$

Решая неравенство, получаем искомый интервал  $(0; e^{-\frac{1}{\gamma}}e^{-\frac{1}{\gamma+1}})$  (рис. 7). В предельном случае, когда  $\gamma = 1$ , интервал имеет вид  $(0; \frac{1}{e\sqrt{e}})$ , при увеличении  $\gamma (\gamma > 1)$  его правая граница тоже увеличивается.

**Замечание 3.1.** В случае газа с монотонной скоростью звука в зависимости от  $\rho$ , не задав конкретного значения  $\gamma (\gamma > 1)$ , нельзя выбрать начальное значение  $\rho^0(0)$ .

**Замечание 3.2.** В случае газа с немонотонной скоростью звука при постановке задачи заведомо можно взять  $\rho^0(0)$  из интервала  $(0; \frac{1}{e\sqrt{e}})$ .

## Выводы

Нормальный газ, имеющий логарифмическую особенность в уравнении состояния, является разреженным газом:  $\left( \rho^0(0) \in \left(0; \frac{1}{e\sqrt{e}}\right) \right)$ . В работах [1, 6] показано, что гравитация начинает сказываться, если газ имеет очень большую плотность ( $\rho \sim 10^{11}$ ). Поэтому использование уравнения состояния с логарифмической особенностью для газа, гравитирующего по Ньютону, не приводит к содержательным результатам.

Все полученные в статье результаты доказаны строго, но носят локальный характер. Поэтому они не учитывают особенностей, возможно, возникающих в средней части течения.

Авторы благодарят С.П. Баутина за полезное обсуждение данной работы.

## Список литературы

- [1] БАУТИН С.П., ДЕРЯБИН С.Л. Математическое моделирование истечения идеального газа в вакуум. Новосибирск: Наука, 2005. 390 с.
- [2] БАУТИН С.П., ДЕРЯБИН С.Л. Аналитическое моделирование истечения идеального газа в вакуум // Успехи механики. 2006. Т. 4, № 1. С. 77–120.
- [3] БАУТИН С.П., ДЕРЯБИН С.Л. Задача об истечении в вакуум нормального газа // Динамика сплошной среды. 1993. Вып. 107. С. 26–38.
- [4] ЛОЙЦЯНСКИЙ Л.Г. Механика жидкости и газа. М.: Наука, 1970. 904 с.
- [5] ДЕРЯБИН С.Л., ЧУЕВ Н.П. Сферически симметричное истечение самогравитирующего идеального газа в вакуум// Прикл. математика и механика. 1994. Т. 58, Вып. 2. С. 77–84.
- [6] ДЕРЯБИН С.Л. Одномерное истечение самогравитирующего идеального газа в вакуум // Вычисл. технологии. 2003. Т. 8, № 4. С. 32–44.
- [7] КУРАНТ Р. Уравнения с частными производными. М.: Мир, 1964. 830 с.
- [8] ОВСЯННИКОВ Л.В. Лекции по основам газовой динамики. М.: Наука, 2003. 368 с.
- [9] ФОРТОВ В.Е. и др. Ударные волны и экстремальные состояния вещества. М.: Наука, 2000. 410 с.
- [10] Рождественский Б.Л., Яненко Н.Н. Системы квазилинейных уравнений и их приложения к газовой динамике. М.: Наука, 1968. 529 с.

*Поступила в редакцию 2 декабря 2008 г.*